

Laboratoire d'Optique Appliquée

Palaiseau – FRANCE <http://loa.ensta.fr>



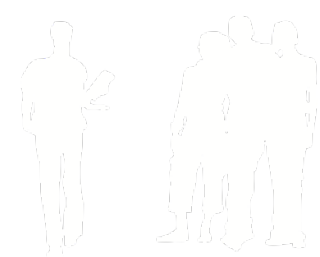
UMR 7639



Accélération laser-plasma en régime kilohertz : stabilité sur plusieurs heures et contrôle d'effets de CEP

*Lucas Rovige, Julius Huijts, Igor Andryash, Aline
Vernier, Marie Ouillé, Jasmeen Kaur, Rodrigo
Lopez-Martens et Jérôme Faure*

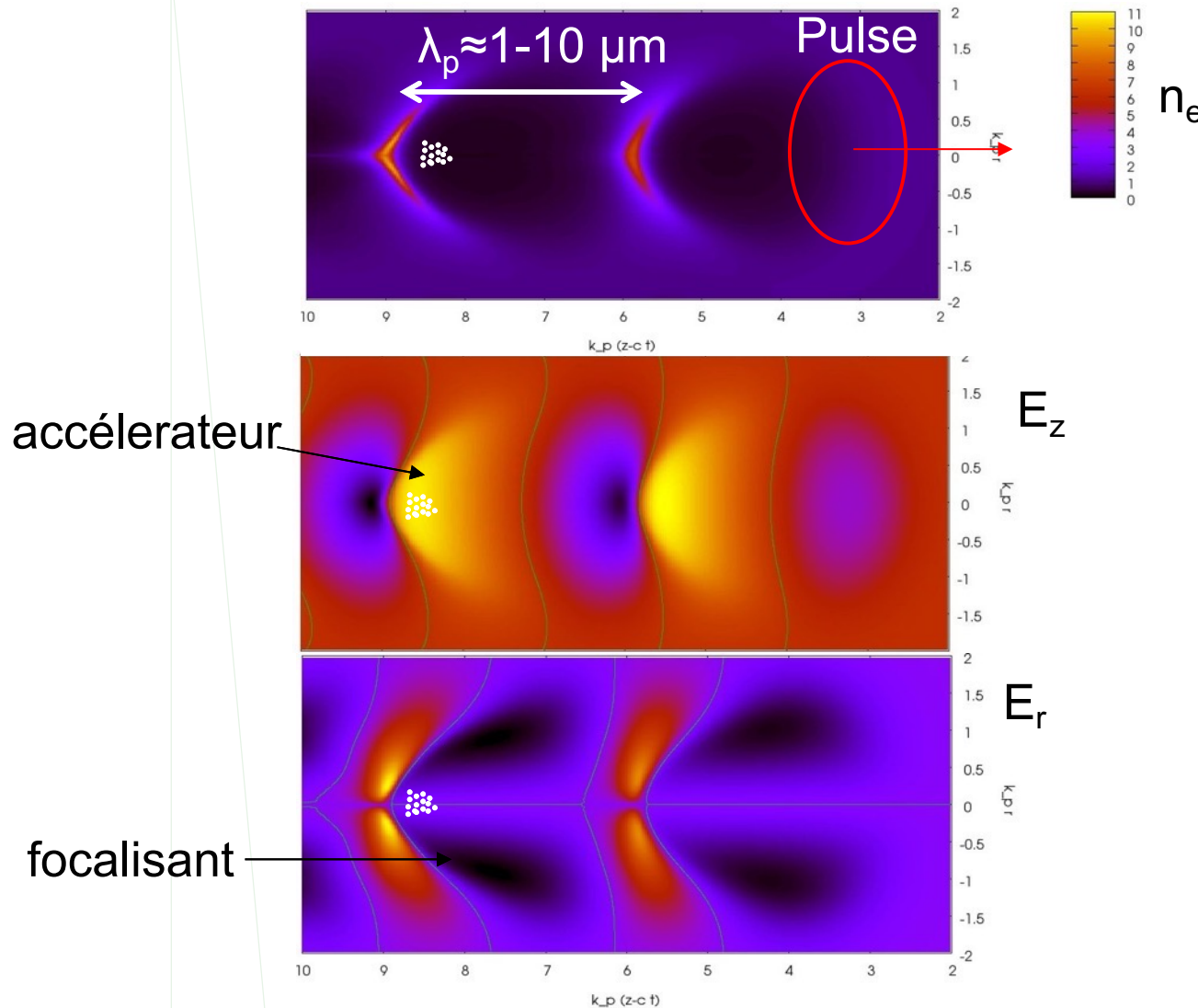
28/09/2021



Plan de la présentation

- Introduction à l'accélération laser-plasma au kilohertz
- Micro-jets choc et stabilité sur plusieurs heures
- Contrôle de l'injection par la phase du laser (CEP)

Accélération d'électrons par sillage laser



Principe : Tajima & Dawson, PRL 1979

Avantages :

- Champs très élevés : 1 MeV / 10 μm
→ Accélérateur compact
- Faisceaux fs
 $< \lambda_p/4$

Pour fonctionner au kHz :

$$\tau = 3.5 \text{ fs}$$

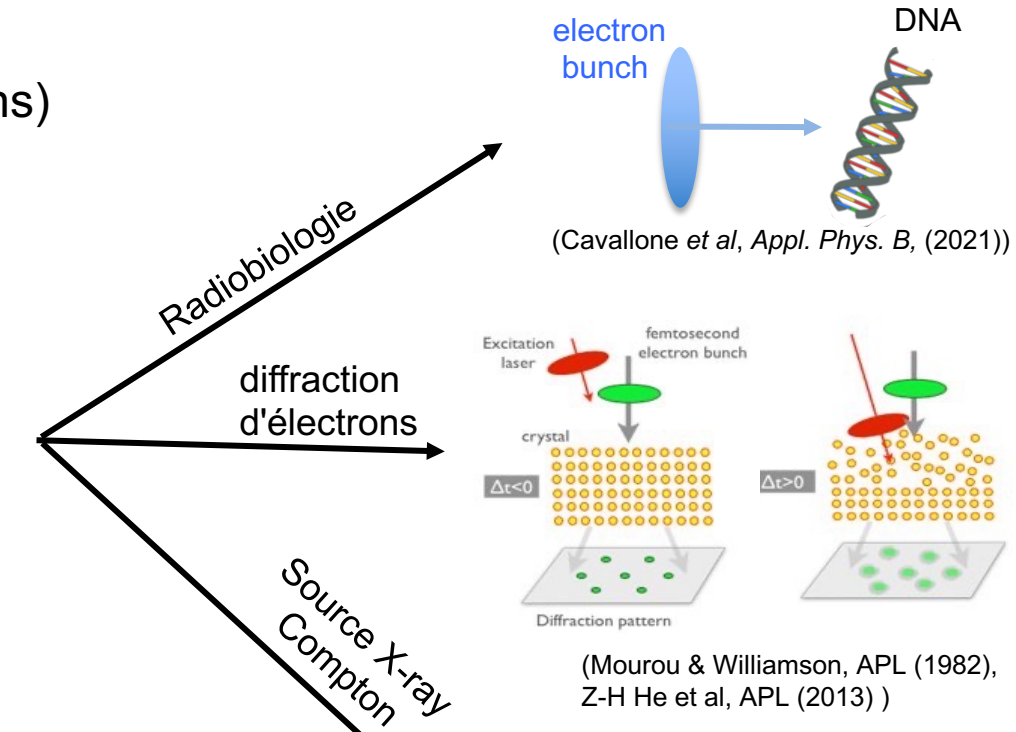
$$E_{\text{las}} \sim 3 \text{ mJ / tir}$$

spot : 3 μm

$$E_{e^-} \sim 1-10 \text{ MeV}$$

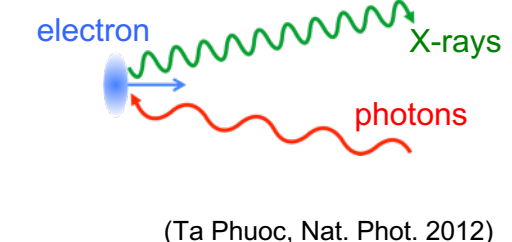
L'intérêt de la haute cadence

- Statistique dans les expériences (source et applications)
- Stabilité thermique
- Boucles d'asservissement
- Électrons 1-20 MeV : utiles pour diverses applications



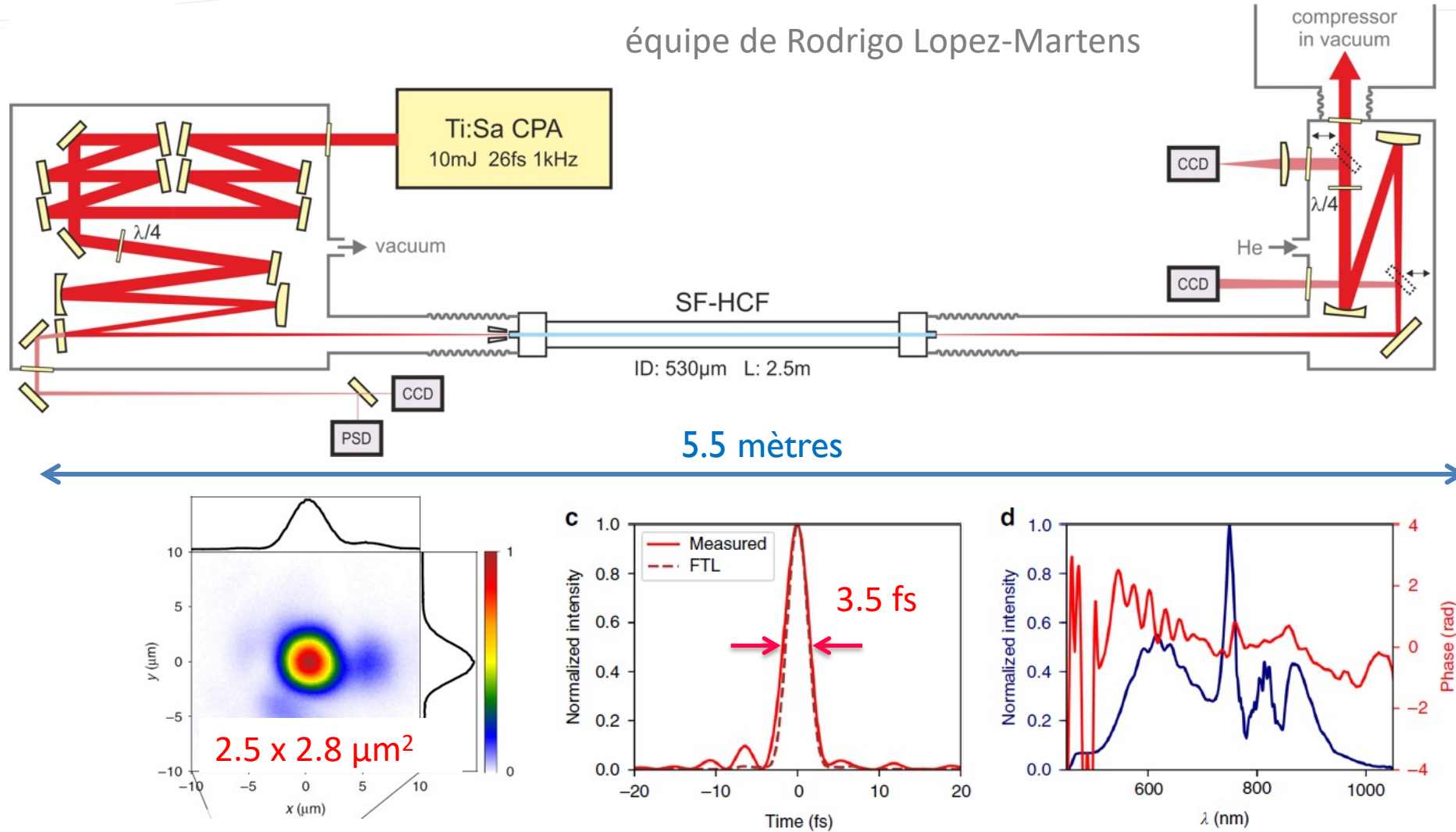
Notre but: source pour les applications

- Fonctionne au kHz (avec <10 mJ)
- Électrons à quelques MeV
- Bonne qualité de faisceau
- Source stable
- Durée sub-10 fs

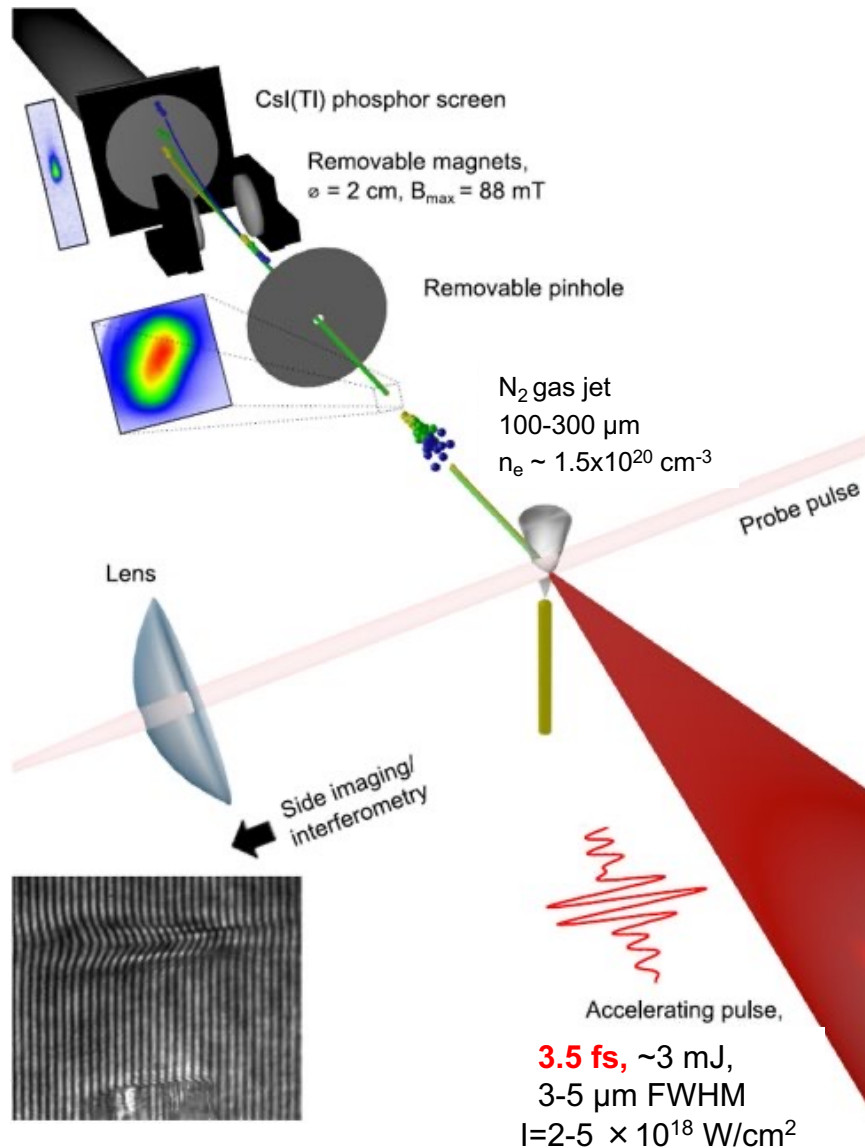


Système laser 1 TW, 1.5 cycle au kHz

équipe de Rodrigo Lopez-Martens



Configuration expérimentale



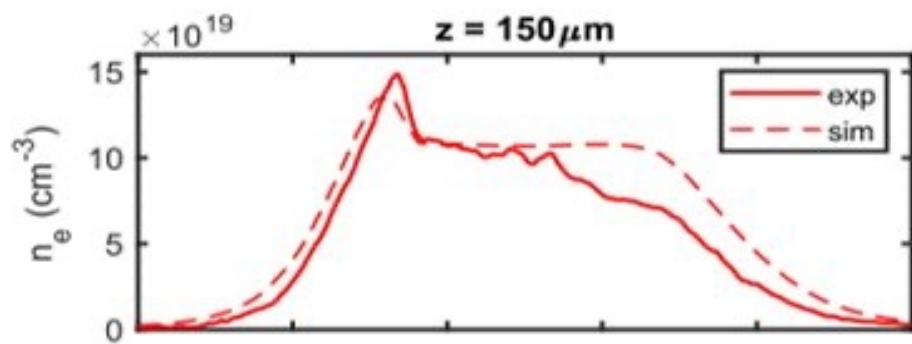
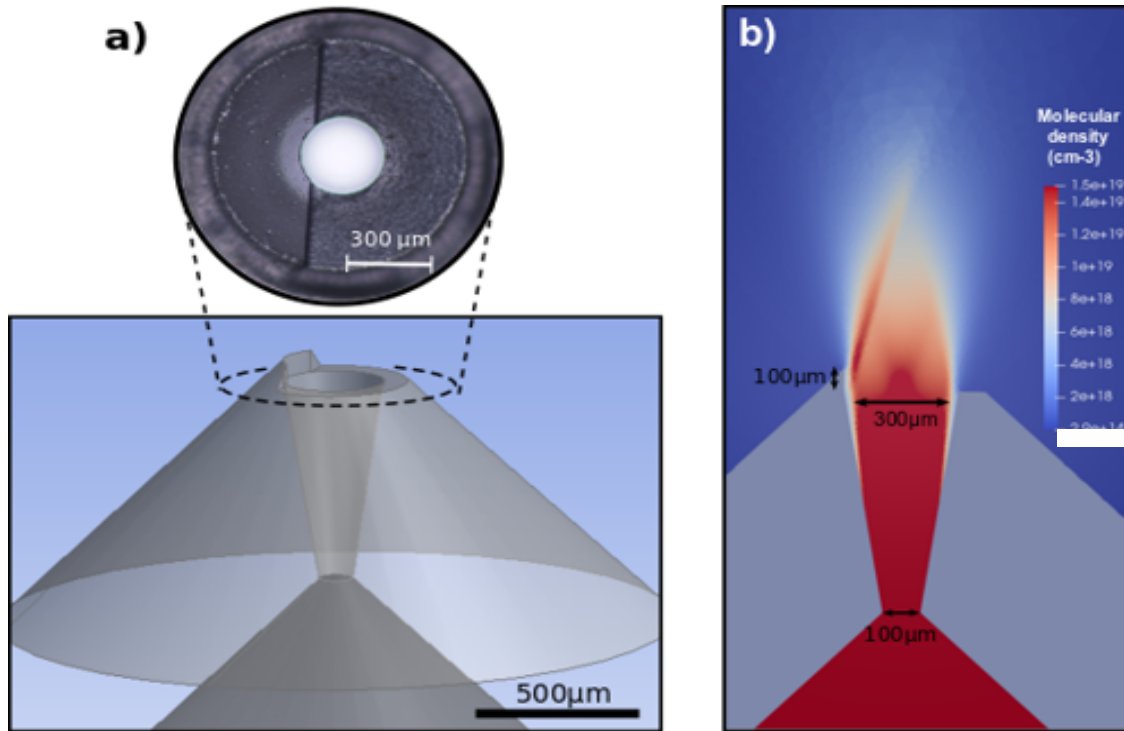
La cible est un jet de N₂ gaz qui s'écoule en continu

→ Fonctionnement réel au kHz !

Plan

- I. Introduction au régime kilohertz
- II. Micro-jets choc et stabilité sur plusieurs heures**
- III. Contrôle de l'injection par la CEP
- IV. Conclusions et perspectives

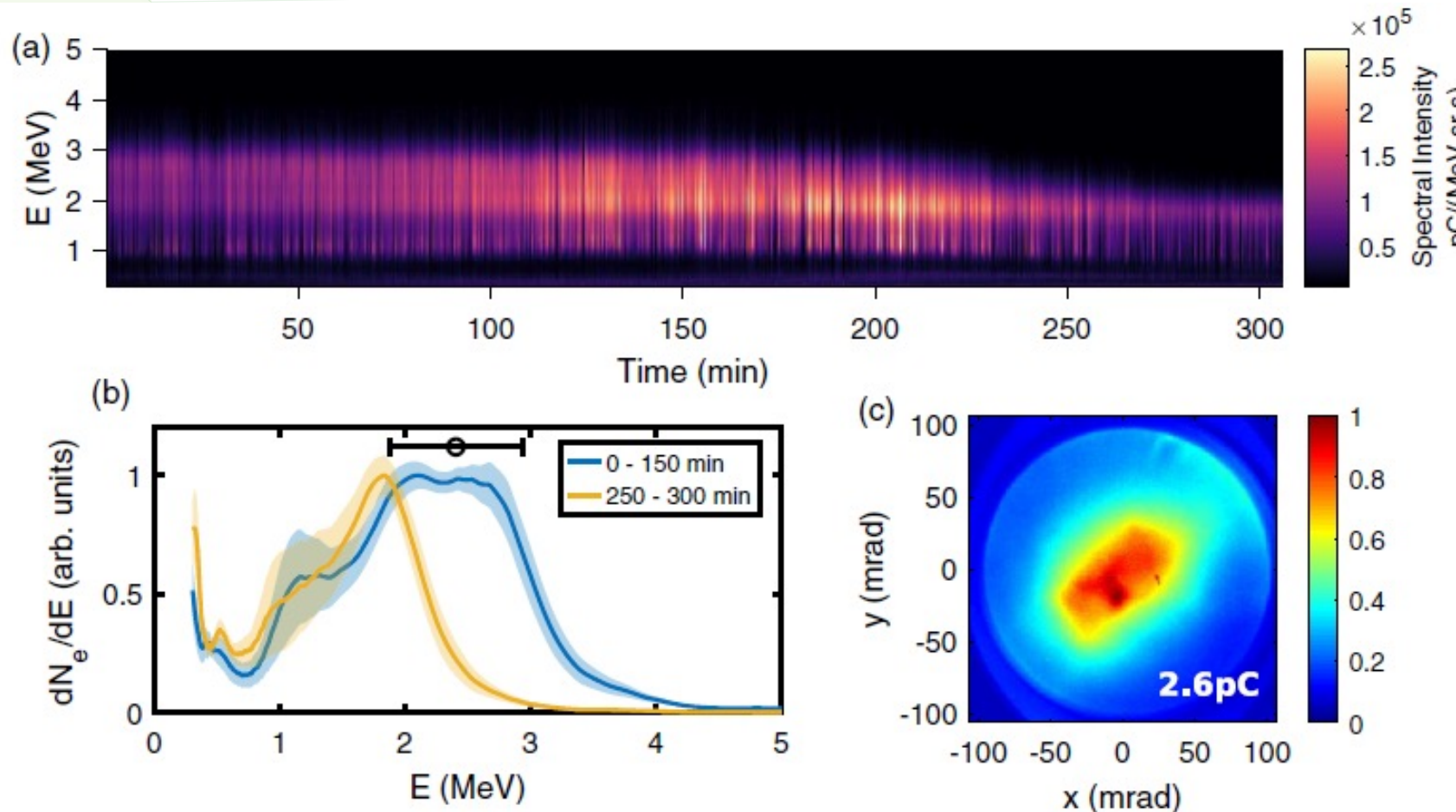
Nouveau design : micro-jet choc



Pourquoi utiliser un choc ?

- Zone avec une haute densité, assez loin du jet → limite les dommages
- Forme un gradient de densité: injection dans le gradient → stabilise le faisceau

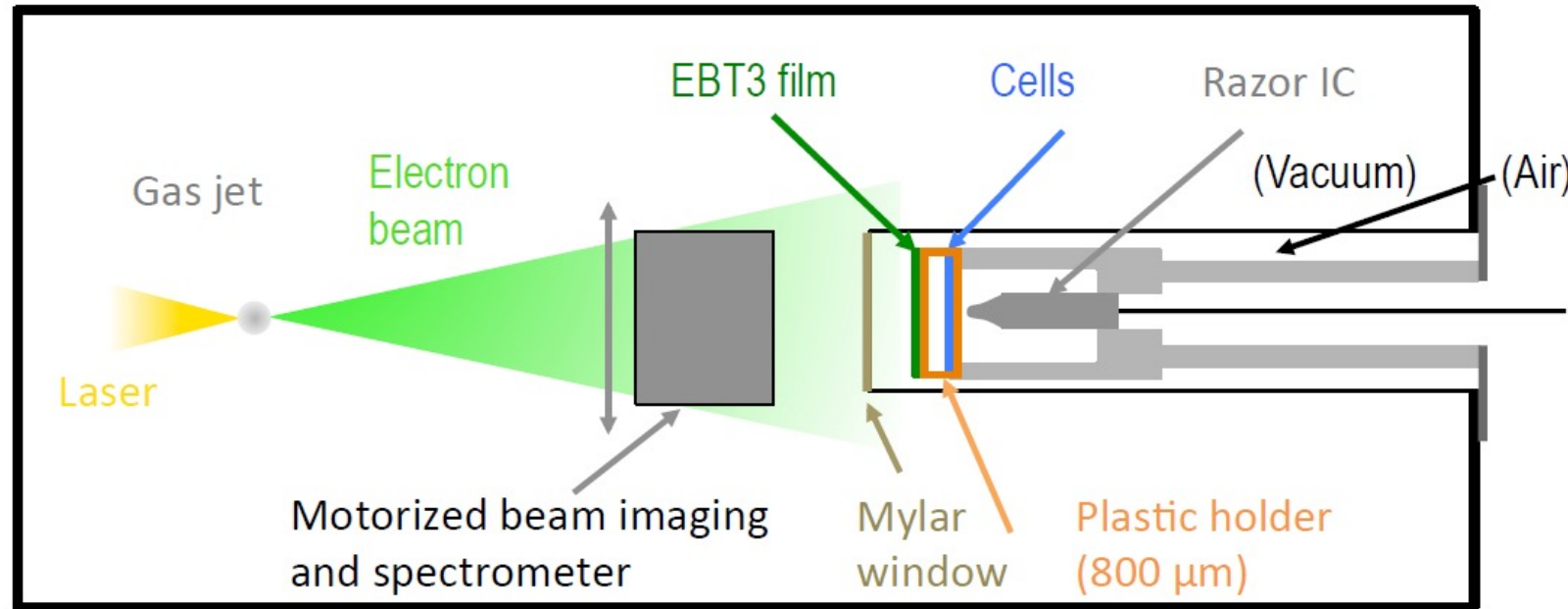
5h de fonctionnement en continu



18 $\times 10^6$ tirs !

Param. exp.:
 $EI = 3.8 \text{ mJ}$; $\tau = 4.1 \text{ fs}$
 $I = 2 \times 10^{18} \text{ W/cm}^2$
Spot size : $6.2 \times 5.5 \mu\text{m}$ FWHM
One-sided shock jet (densité pic: $\approx 1 \times 10^{20} \text{ cm}^{-3}$)

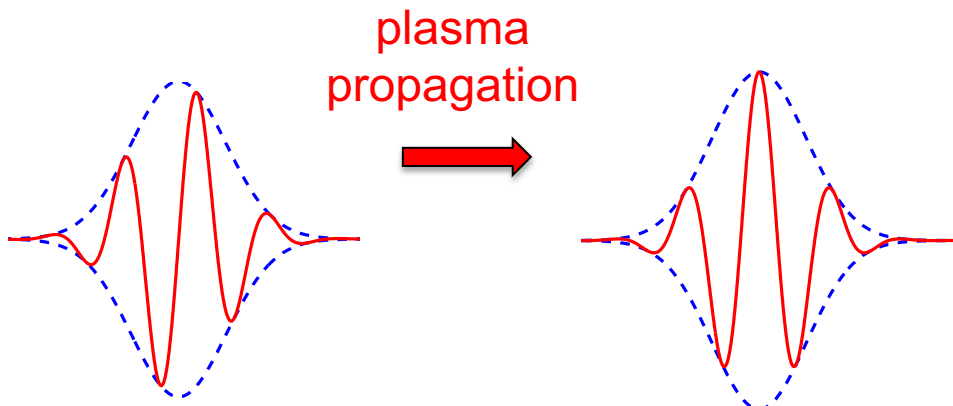
Application: Radiobiologie



Plan

- I. Introduction au régime kilohertz
- II. Micro-jets choc et stabilité sur plusieurs heures
- III. Contrôle de l'injection par la CEP**
- IV. Conclusions et perspectives

Glissement de la CEP



CEP = Carrier-Enveloppe Phase

Dans le plasma :

$$v_\varphi > v_g$$

La CEP glisse de 2π après propagation de :

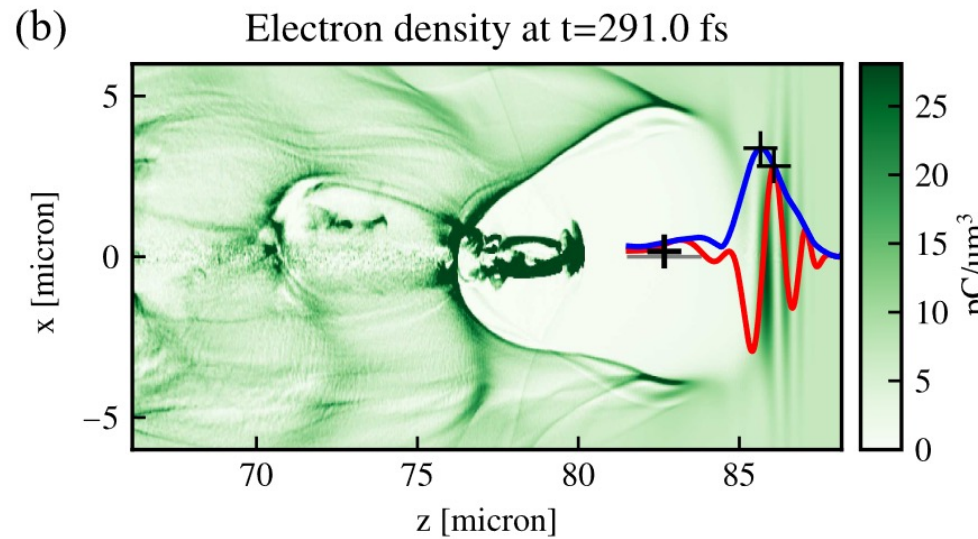
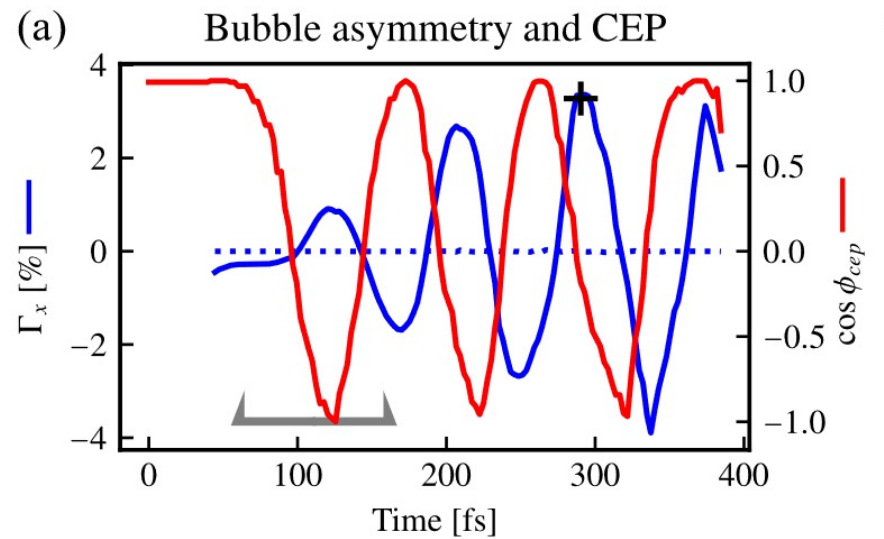
$$L_{2\pi} = \lambda_0 \frac{c}{v_\varphi - v_g} \simeq \lambda_0 \frac{n_c}{n_e}$$

Effet significatif de CEP si la longueur d'injection est inférieure à $L_{2\pi}$

$$L_{inj} \leq L_{2\pi} \simeq 10\mu m$$

CEP et asymétrie de la bulle

Nerush et Kostyukov, PRL (2009) : asymétrie de la réponse plasma dépendante de la CEP



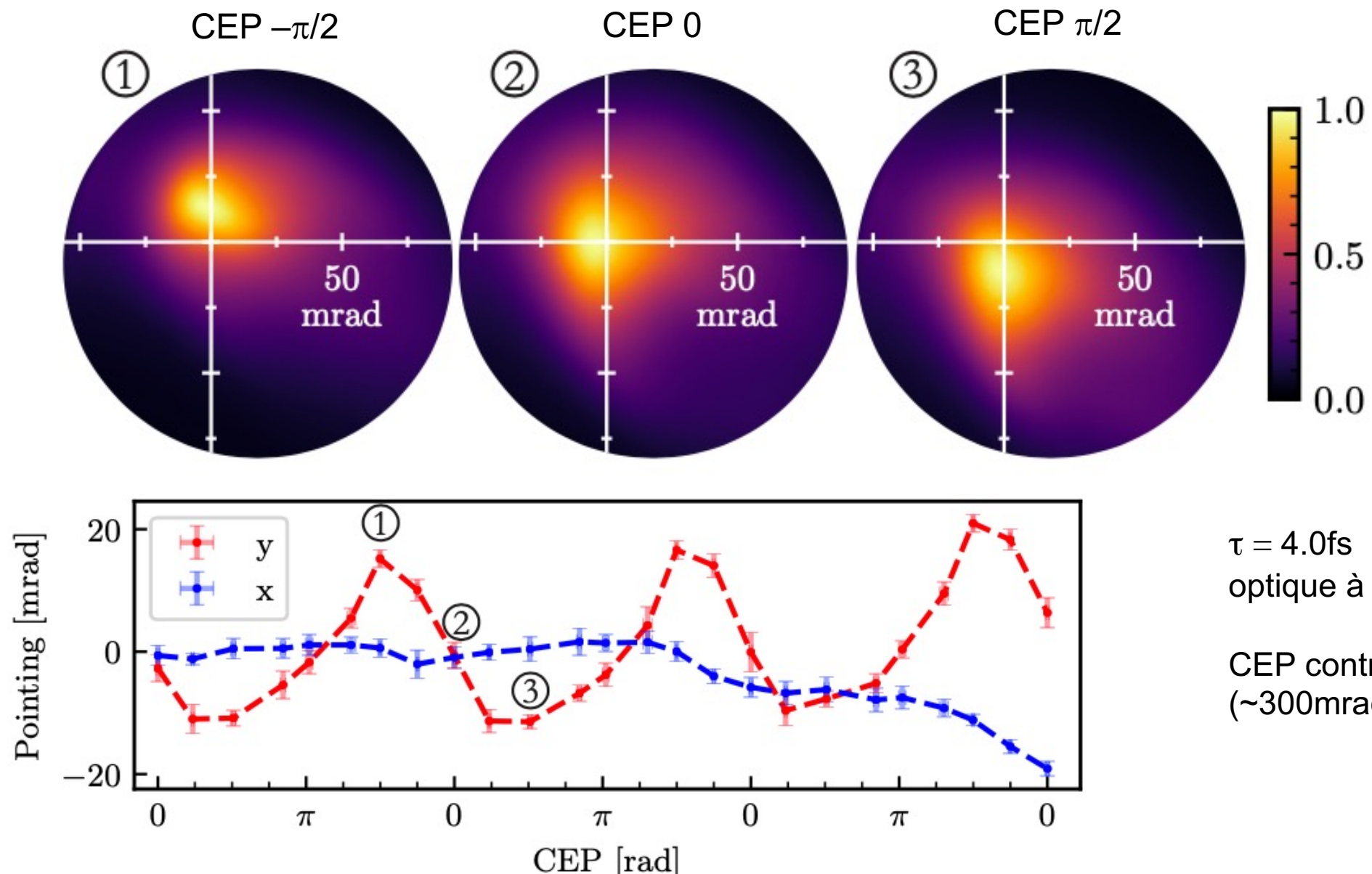
J. Huijts *et al.* Phys. of Plasma (2021)

Oscillation de la bulle avec le glissement de la CEP

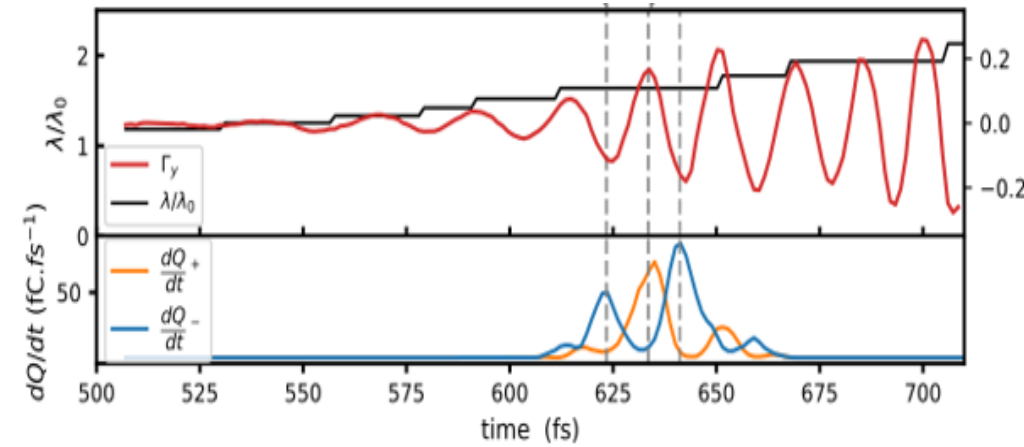
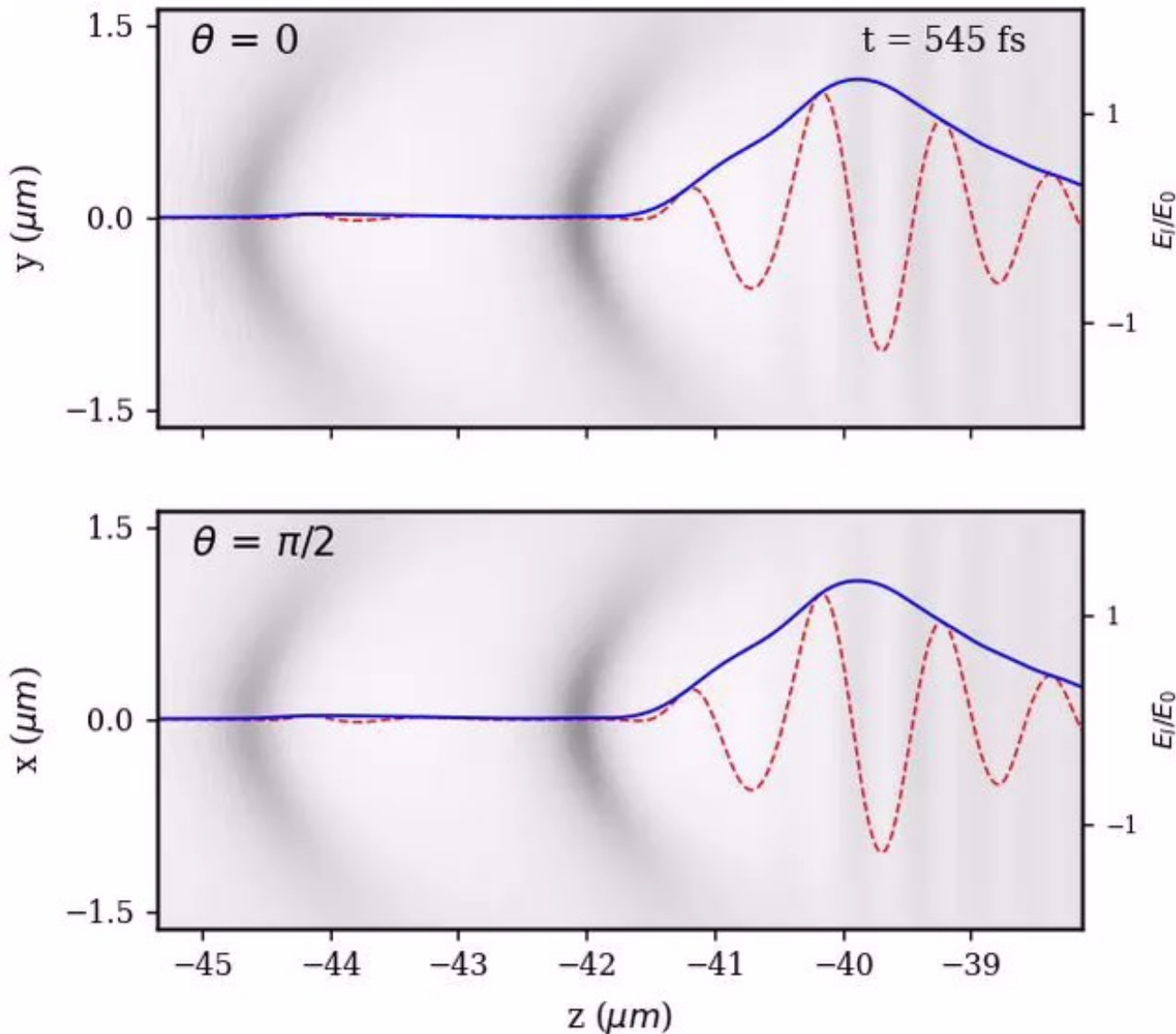
Other recent work on CEP (circular polarization) :
F. Salehi *et al*, PRX, (2021)



Expérience : CEP et pointé des électrons

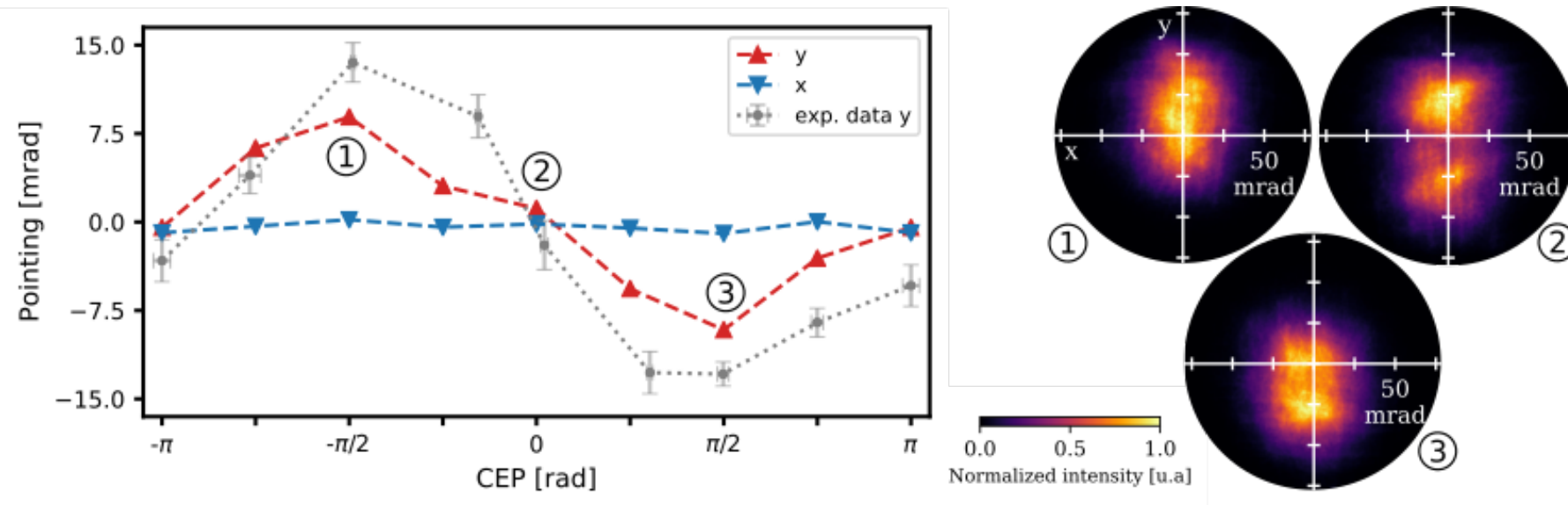


Simu PIC : oscillation du wake avec la CEP



Le wake oscille avec la CEP :
injections hors axe

Simu PIC : variation de pointé avec la CEP



Comportement expérimental très bien reproduit par les simulations

Perspectives :

→ Contrôle et injection de banches sub-fs !

Conclusions et perspectives

- Systématiquement 1-10 pC at 1-5 MeV (récemment 8-10MeV!)
- Fonctionnement stable et autonome pour 18M tirs (record!)
- Première application démontrée
- Injection CEP-dépendante observée pour la première fois

Et pour la suite ?

→ Diffraction d'électrons

→ Bientôt 15MeV ?

L'équipe

kHz laser-plasma source

J. Huijts, J. Monzac, A. Vernier, I. Andriyash, J. Faure



Salle Noire Laser system:

M. Ouillé, J. Kaur, R. Lopez-Martens

Radiobiology experiment:

M. Cavallone, E. Bayart, R. Delorme, A. Flacco



Gas jet fabrication:

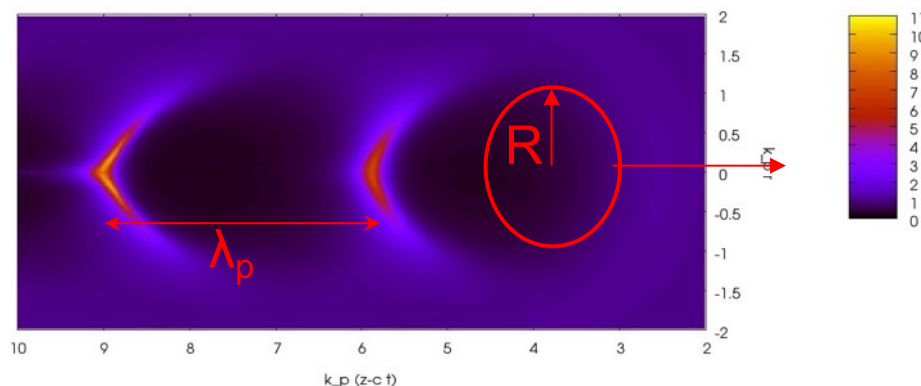
V. Tomkus, V. Girdauskas, G. Raciukaitis, J. Dudutis ,
V. Stankevic , P. Gecys



Supplementaires

Lois d'échelle pour les lasers kilohertz

Puissance moyenne des laser \approx constante



Résonnance de l'impulsion laser
avec l'onde plasma:
 $R \approx \lambda_p/2, c\tau \approx \lambda_p/2$

$$\text{Énergie laser : } E_L \propto \tau^3 \propto \lambda_p^3$$

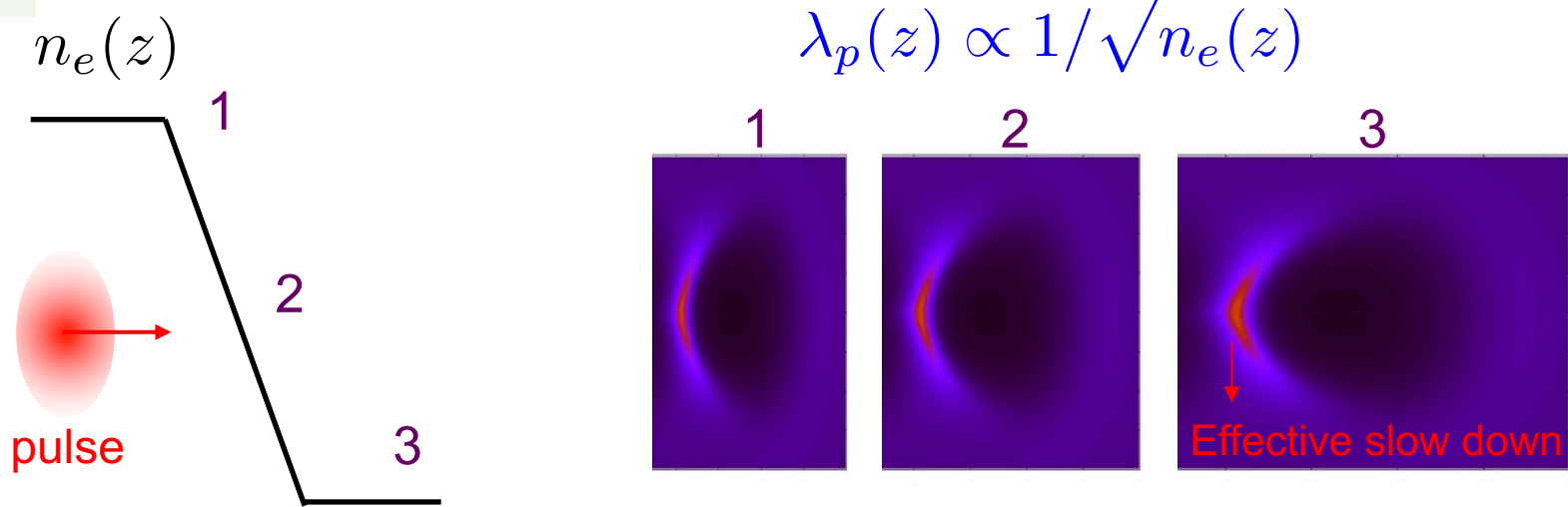
$$30 \text{ fs} \rightarrow 1 \text{ J} \rightarrow 100 \text{ MeV-1 GeV}$$

$$3 \text{ fs} \rightarrow 1 \text{ mJ} \rightarrow 1-10 \text{ MeV}$$

$$\text{Gain d'énergie des électrons : } \Delta E \propto \tau^2 \propto \lambda_p^2$$

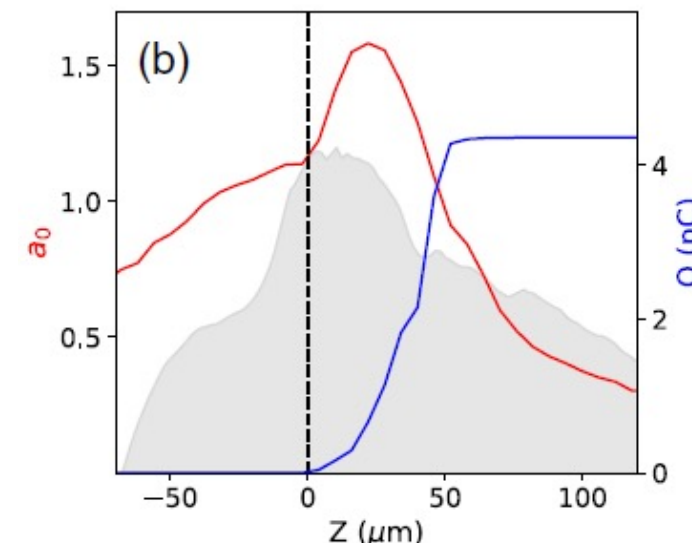
et haute densité $n_e > 10^{20} \text{ cm}^{-3}$

What is the physics ? density gradient injection

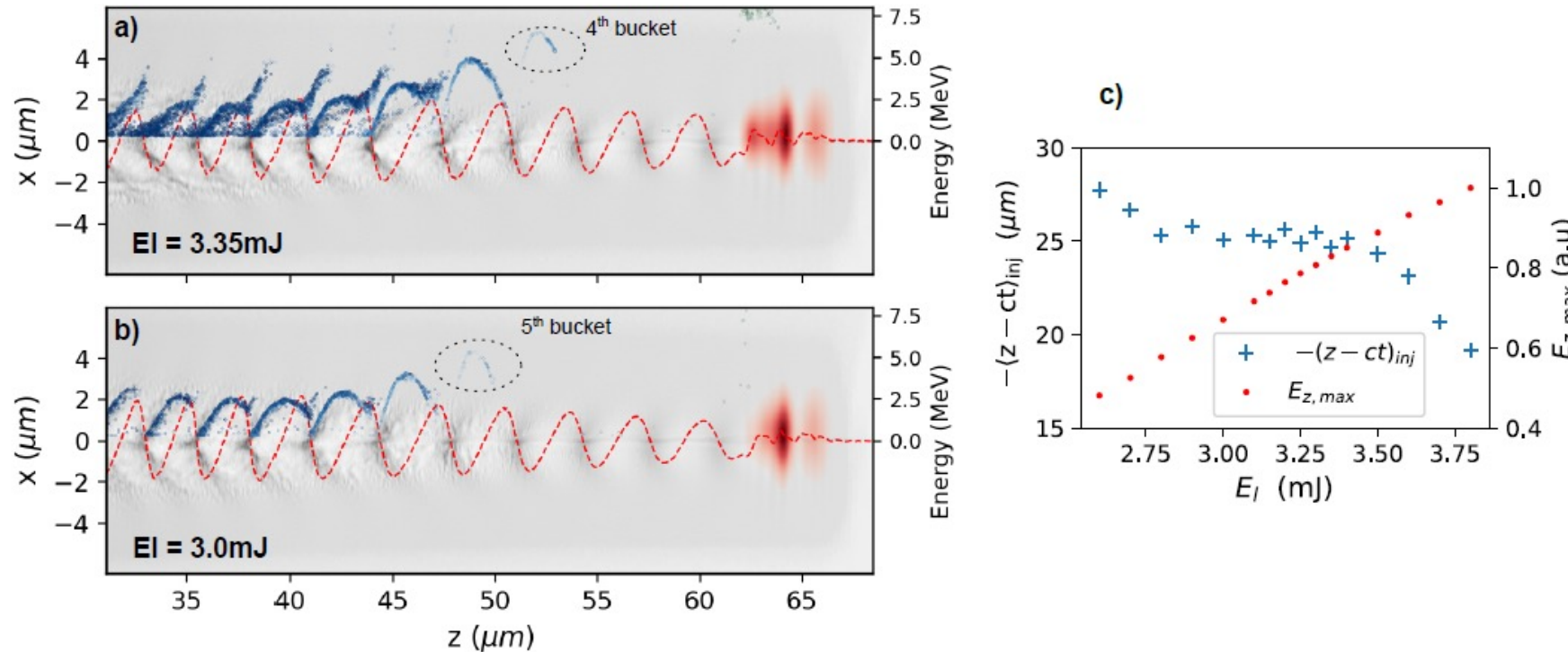


The idea: slowing down the accelerating structure

Simulations confirm that electrons are injected in the gradient



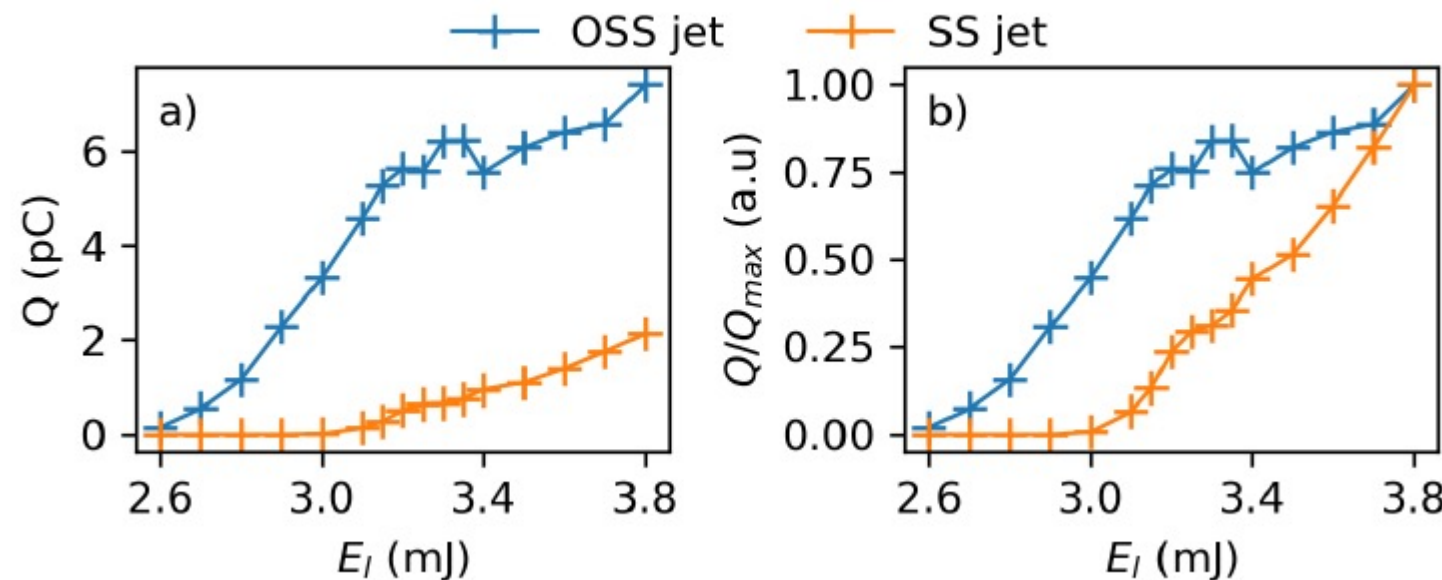
PIC simulation OSS : laser driver energy scan



- Downward gradient : wake $v_{\phi i}$ decreases behind laser (V. Brantov *et al*, Phys. Plasmas 15, 073111 (2008)).
- Lower E_l : injection further behind
- Electron energy limited by dephasing

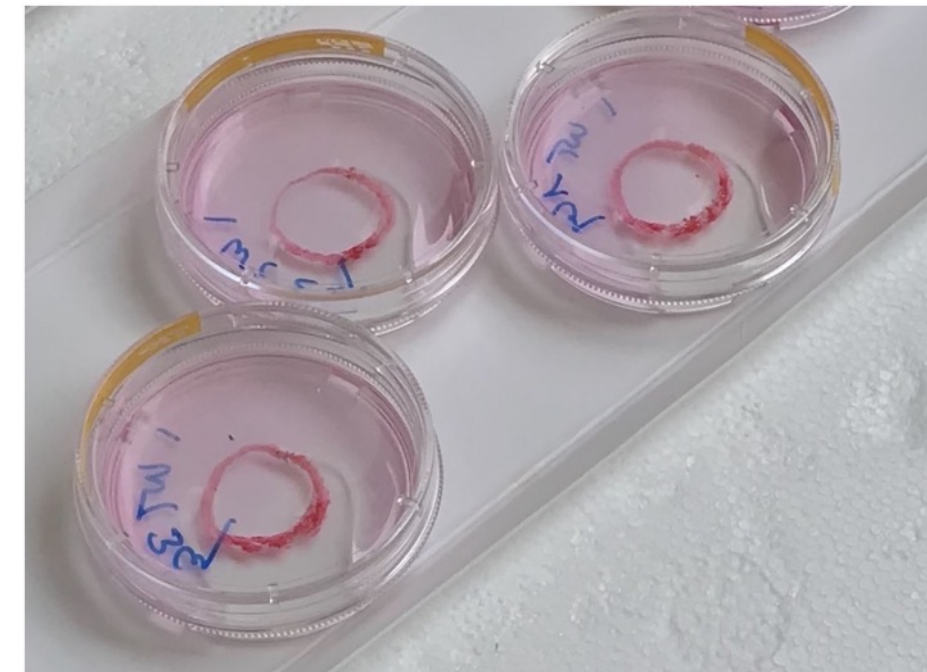
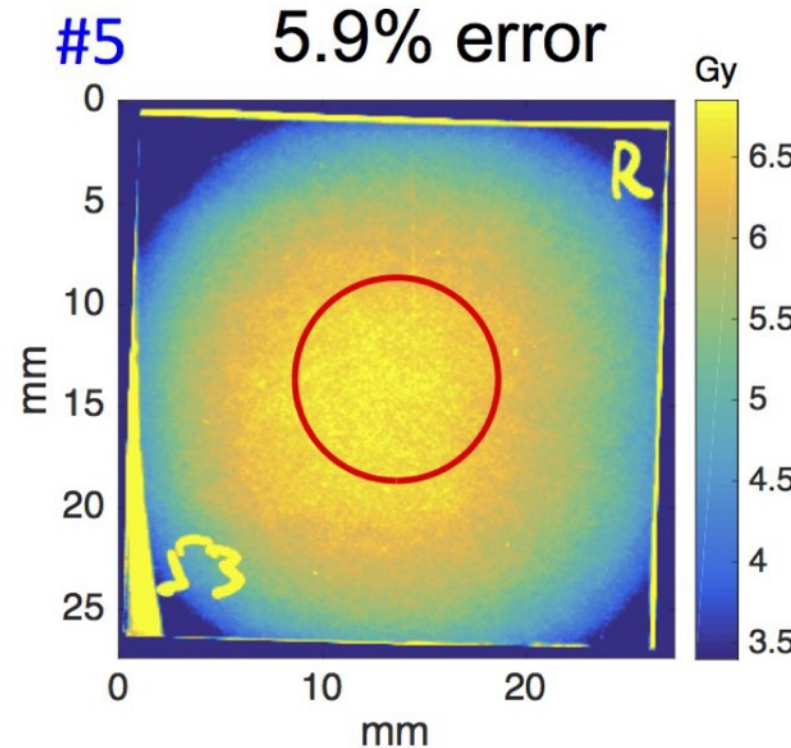
Simulations PIC : comparaison avec un profil supersonique

Simulation jets OSS/SS avec les autres paramètres gardés identiques



Application: Radiobiology

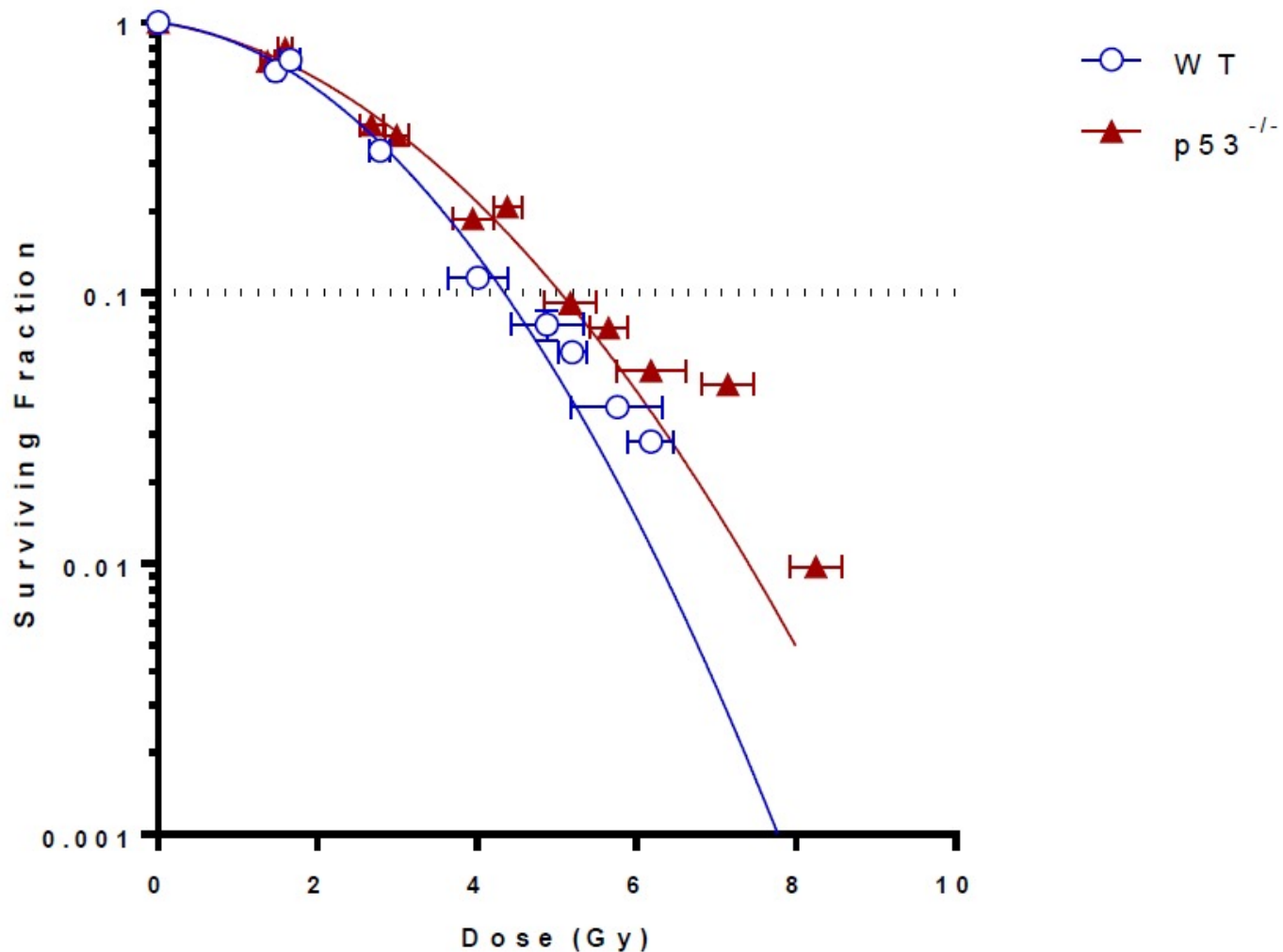
High charge, divergent electron beams



Mean dose rate : 1 Gy/s

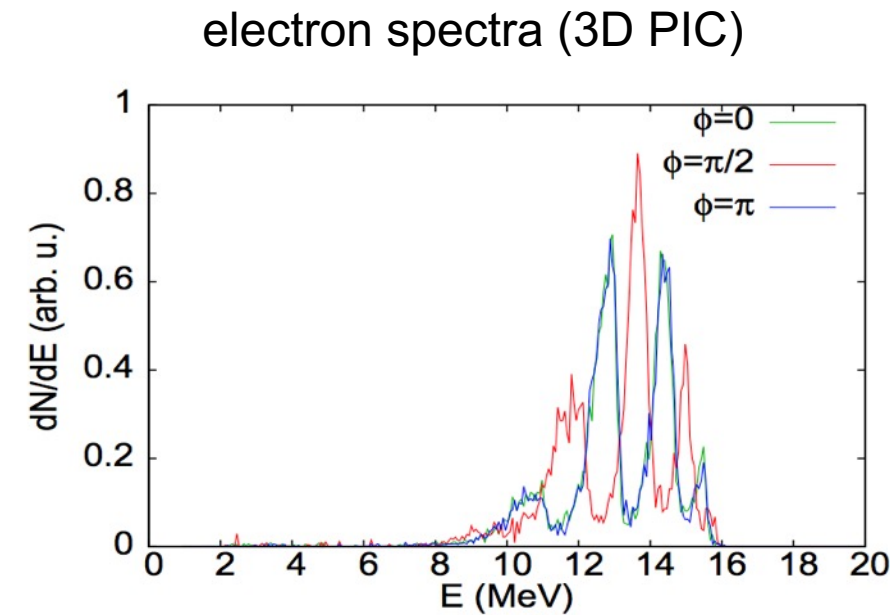
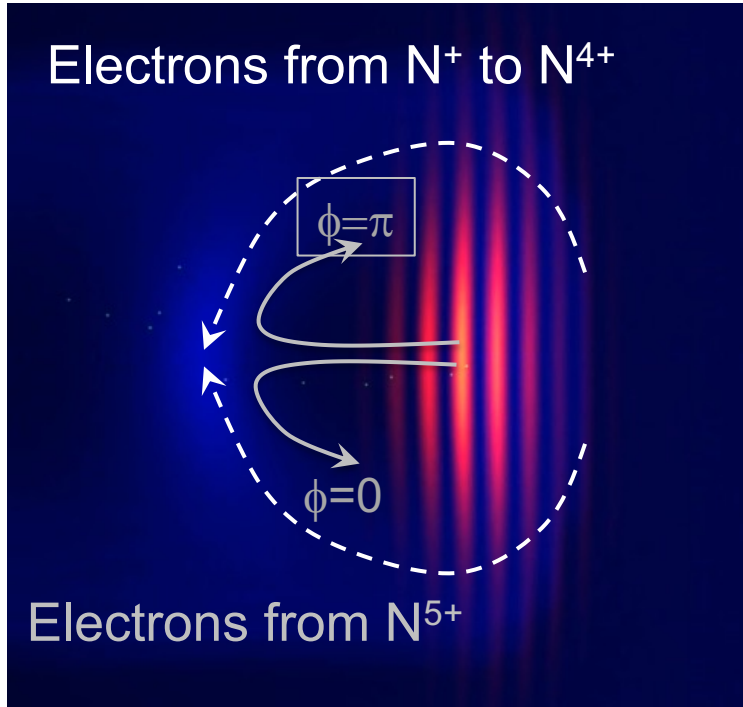
Human Colorectal Tumor cells HCT116

Application: Radiobiology



CEP effects : what is expected

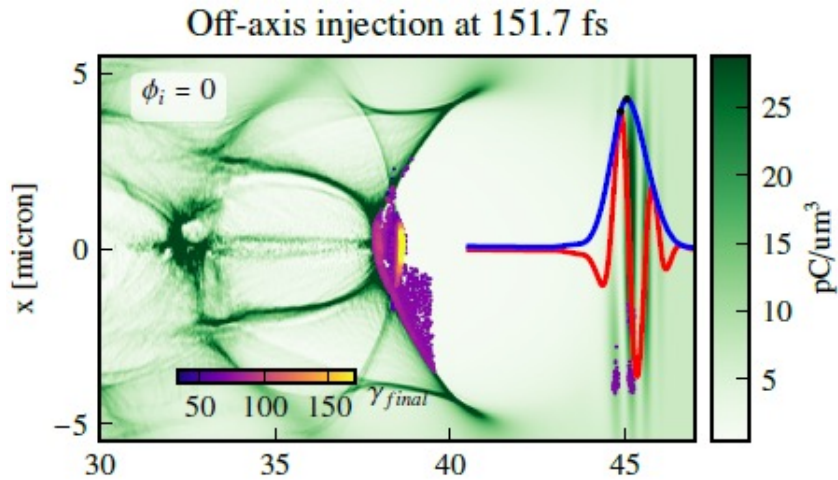
Ionization-injection case



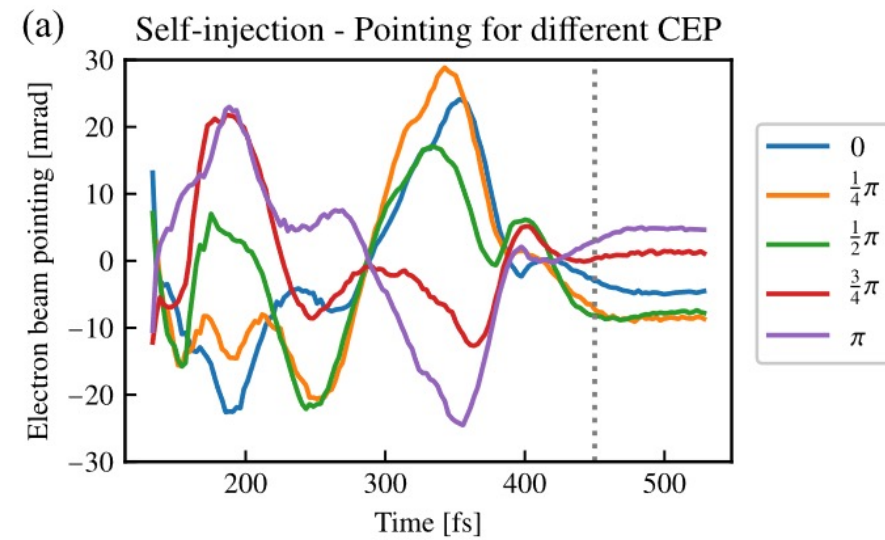
Lifschitz & Malka, NJP 14 053045 (2012)

CEP effects : what is expected

Self-injection case

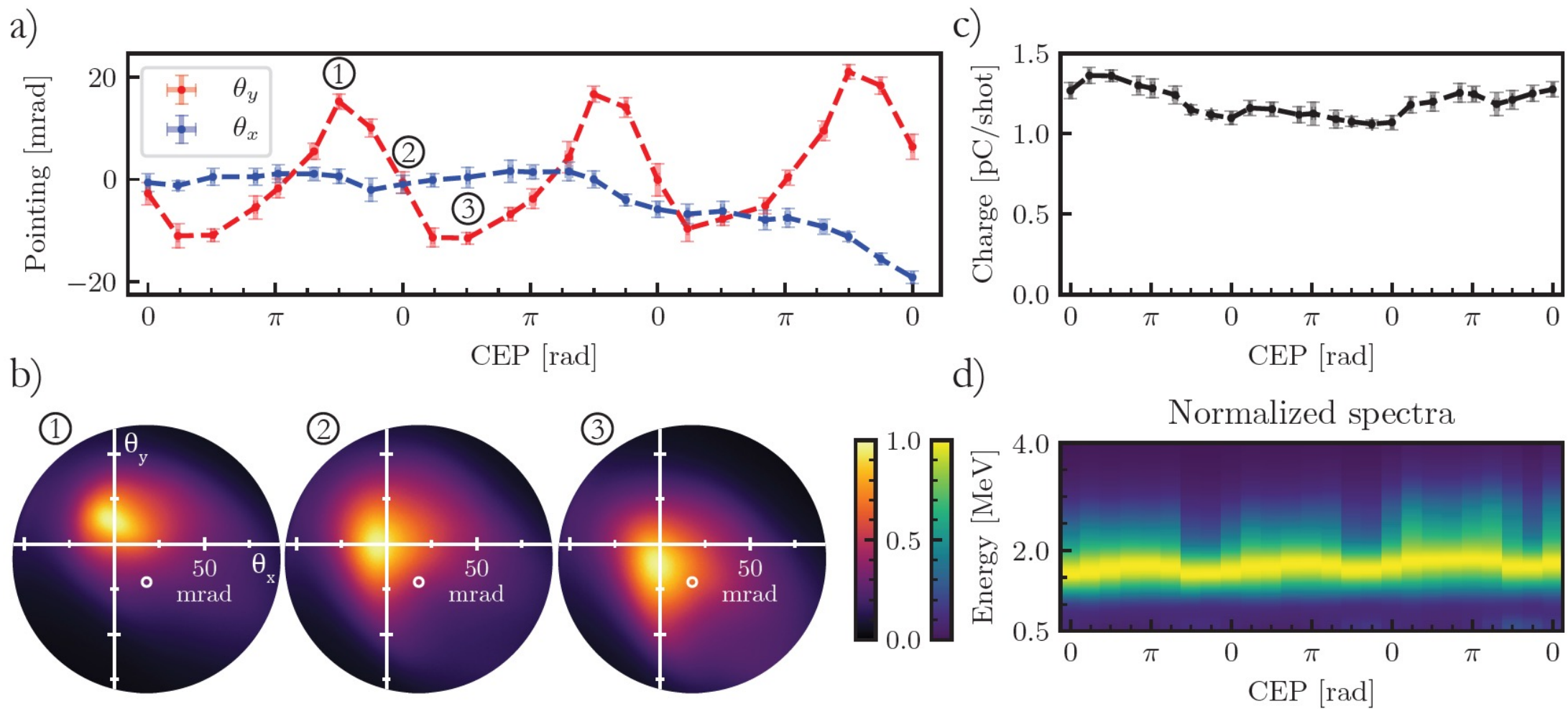


J. Huijts et al. arXiv:2006.10566 (2020)

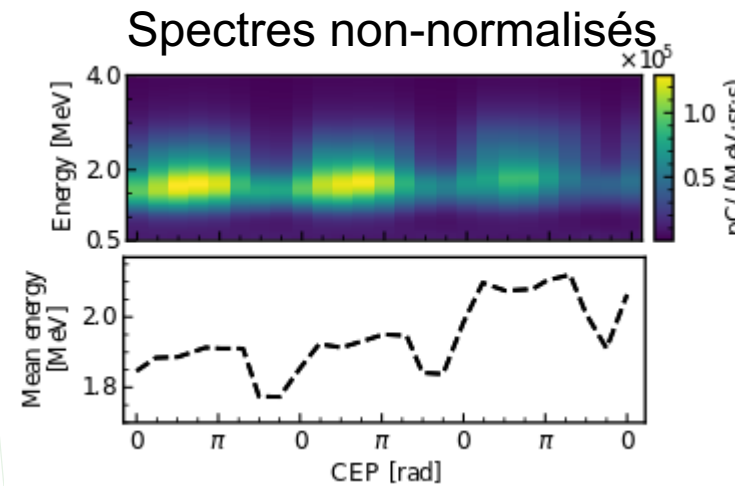


Asymmetry in self-injection leads to CEP-dependent pointing

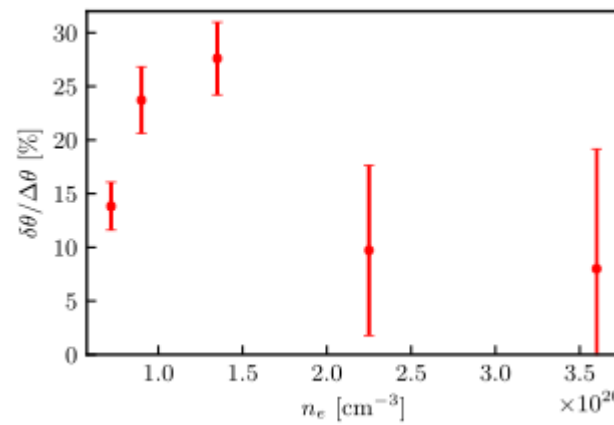
CEP : Full exp figure



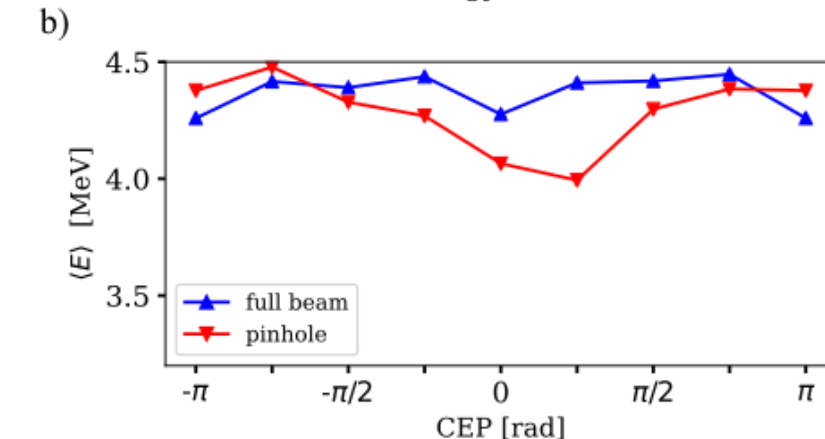
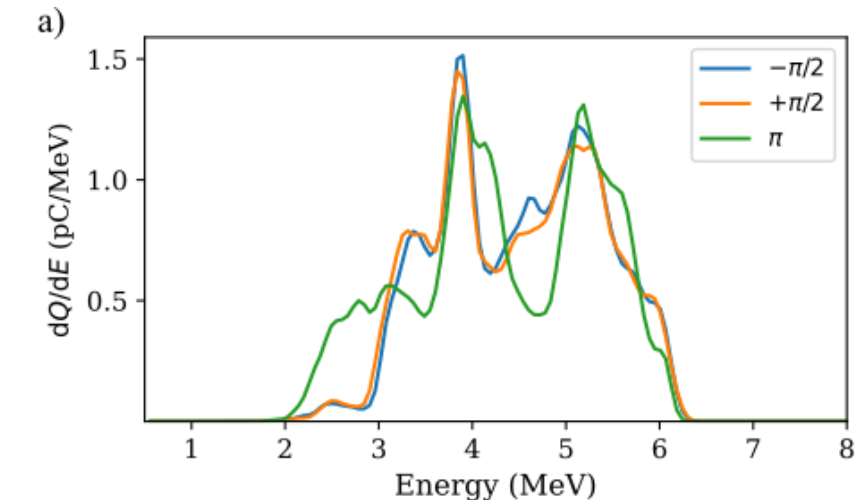
CEP : all figures



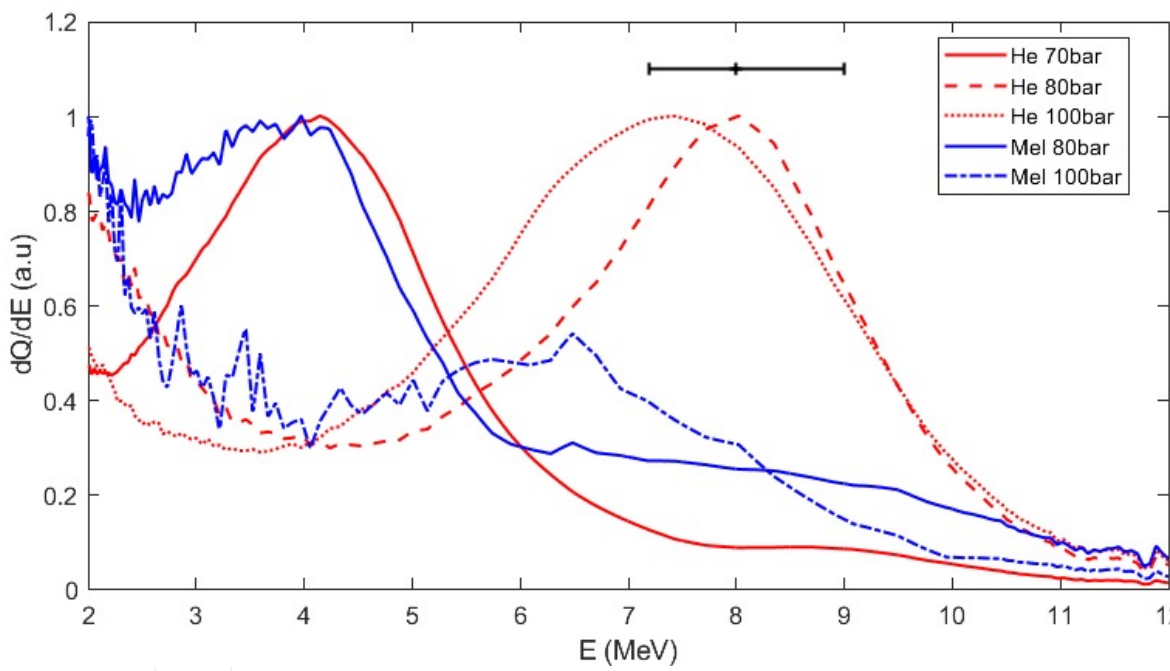
Scan CEP en fonction n_e



Énergie simu PIC



8-10 MeV



P100 He

